

مطالعه شیمی کانی‌ها و دما - فشارسنجدی سنگ‌های کیانیت‌دار در مجموعه دگرگونی منطقه همدان

فریبا کردی، علی اصغر سپاهی^{*}، لیلی ایزدی کیان

گروه زمین‌شناسی، دانشکده علوم، دانشگاه بولاقی سینا

(دریافت مقاله: ۹۵/۱۱/۱۲، نسخه نهایی: ۹۶/۲/۳۰)

چکیده: منطقه مورد بررسی در استان همدان و در همسایگی ژرف توده‌یوند در پهنه‌ی سندج-سیرجان قرار دارد. در همسایگی این توده‌یوند انواع سنگ‌های دگرگونی مجاورتی و ناحیه‌ای از درجه پائین تا بالا وجود دارد که شامل انواع شیسته‌ها، هورنفلس‌ها و میگماتیت-هاست. گرچه سنگ‌های کیانیت‌دار از نظر وسعت، مجموعه سنگی عده‌ای را تشکیل نمی‌دهند اما به صورت‌های گوناگون (هورنفلس، میگماتیت، رگه‌های کوارتز-کیانیت) بروزد دارند. کیانیت در این سنگ‌ها همراه با کانی‌های دیگر دگرگونی از جمله آندالوزیت، سیلیمانیت، استارولیت و گاهی کردبریت به همراه زمینه‌ای از بیوتیت، مسکویت، کوارتز و گاهی پلازیوکلاز یافته می‌شود. کیانیت‌های منطقه همدان را می‌توان از نظر چگونگی تشکیل به سه دسته اصلی تقسیم کرد: ۱- کیانیت‌های موجود در متن سنگ، ۲- کیانیت‌های رشد یافته در قالب پورفیروبلاست‌های آندالوزیت و ۳- کیانیت‌های تبلور یافته در رگه‌های آلومینوسیلیکات‌دار. از آنجاکه رشد همزمان سه‌تایی یا دوتایی آلومینوسیلیکات‌ها در مقاطع نازک دیده نمی‌شود، می‌توان گفت که آلومینوسیلیکات‌ها در وقایع دگرگونی مختلف و در چند نوبت شکل گرفته‌اند. دگرگونی ناحیه‌ای منطقه بیشتر به نوع بوچان شباهت دارد، اما اضافه شدن کیانیت به مجموعه کانی-شناسی سنگ‌ها در بعضی نقاط، مجموعه دگرگونی را متمایل به نوع بارووین کرده است. ترکیب گارنت‌های موجود در سنگ‌های مورد بررسی بیشتر در قطب آلماندن-اسپسارتین، ترکیب بیوتیتها در محدوده سیدروفیلیت و ترکیب پلازیوکلاز از نوع آندزین است و استارولیت‌های منطقه دارای ترکیبی غنی از آهن هستند. بر اساس دما‌سنجدی با استفاده از تک کانی بیوتیت، بیوتیت‌های موجود در مزوسوم میگماتیت‌ها و هورنفلس‌های کیانیت‌دار دره سیمین به ترتیب میانگین دمایی در حدود ۶۳۳ و ۵۸۷ درجه سانتی‌گراد و بیوتیت‌های موجود در هورنفلس‌های کیانیت‌دار مریانج، دمای ۴۸۳ درجه سانتی‌گراد را نشان می‌دهند. بر اساس دما‌سنجدی به روش تبادل کاتیونی زوج کانی گارنت-بیوتیت، میانگین دمای هورنفلس‌های کیانیت‌دار منطقه مریانج در حدود ۵۲۴ درجه سانتی‌گراد و میانگین دمای میگماتیت‌ها و هورنفلس‌های کیانیت‌دار دره سیمین به ترتیب در حدود ۶۱۸ و ۵۸۰ درجه سانتی‌گراد محاسبه شد. در فشارسنجدی با استفاده از سامانه‌های GPBQ و GASP فشار میگماتیت‌های کیانیت‌دار به ترتیب در حدود ۳/۸ و ۴/۱ کیلو بار برآورد می‌شود.

واژه‌های کلیدی: همدان، دما- فشارسنجدی، شیمی کانی، میگماتیت، هورنفلس، کیانیت.

مقدمه- ساختی پوسته در هنگام دگرگونی است. محاسبات دما-

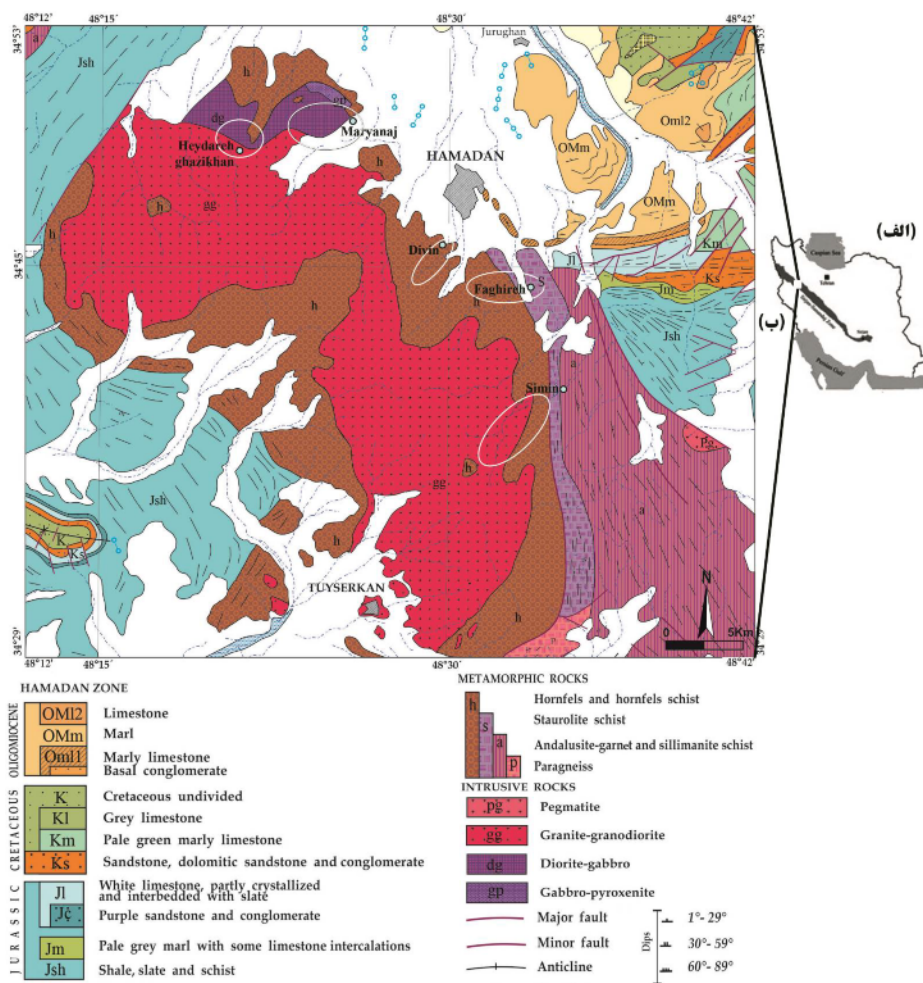
فشارسنجدی بیشتر بر اساس شرایط تعادلی و روابط ترمودینامیکی روی کانی‌های مورد نظر انجام می‌گیرد [۱].

یکی از اهداف مهم بررسی‌های دگرگونی برآورد دما و فشار تشکیل سنگ‌های دگرگونی، به منظور شناسایی شرایط زمین

موقعیت جغرافیایی و زمین‌شناسی

منطقه مورد بررسی در عرض جغرافیایی $29^{\circ} 34'$ و $53^{\circ} 34'$ شمالی و طول‌های جغرافیایی $42^{\circ} 48'$ و $48^{\circ} 24'$ شرقی قرار دارد. مناطق دیوین، مریانج، فقیره، سیمین و حیدره قاضی خان از مناطق نزدیک به بروونزدهای مورد بررسی هستند. از نظر زمین‌شناسی، منطقه همدان در پهنه سندنج-سیرجان واقع است که با روند شمال‌غربی-جنوب‌شرقی در حد فاصل پهنه‌های ایران مرکزی و زاگرس قرار دارد (شکل ۱ الف). توده‌گرانیت‌ئیدی‌الوند در این منطقه جای دارد. پهنه سندنج-سیرجان از سمت جنوب‌غرب به شمال‌شرق به زیر پهنه‌های زیر تقسیم‌بندی شده است: ۱-پهنه رادیولاریتی، ۲-پهنه بیستون، ۳-پهنه افیولیتی، ۴-پهنه حاشیه‌ای و ۵-پهنه با دگرشکلی پیچیده [۱۱]. در این تقسیم‌بندی منطقه همدان در پهنه با دگرشکلی پیچیده قرار می‌گیرد.

بیشتر دماسنجهای واکنش‌های تبادل آهن و منیزیم، بین کانی‌های در حال تعادل با یکدیگر است [۲]. با استفاده از ترکیب کانی‌های گارنت، پلاژیوکلاز، بیوتیت، موسکوویت و کوارتز در سنگ‌های دگرگونی می‌توان فشارسنجی و دماسنجهای انجام داد [۱-۵]. در منطقه همدان، مهم‌ترین انواع سنگ‌های دگرگونی ناحیه‌ای اسلیت، فیلیت، انسواع شیسته‌ها، آمفیبولیت و میگماتیت‌ها هستند. سنگ‌های دگرگونی مجاورتی شامل انواع شیسته‌های لکه‌دار و هورنفلس‌ها هستند. تاکنون بررسی‌های بسیاری بر سنگ‌های دگرگونی منطقه صورت گرفته است [۶-۱۰]. در بررسی‌های پیشین دما-فشارسنجی سنگ‌های کیانیت‌دار به طور ویژه کمتر مورد توجه قرار گرفته است، لذا در این پژوهش هدف آن است که با استفاده از شیمی کانی‌ها و دما-فشارسنجی سنگ‌های کیانیت‌دار، تاریخچه دگرگونی آنها مورد بررسی قرار گیرد.

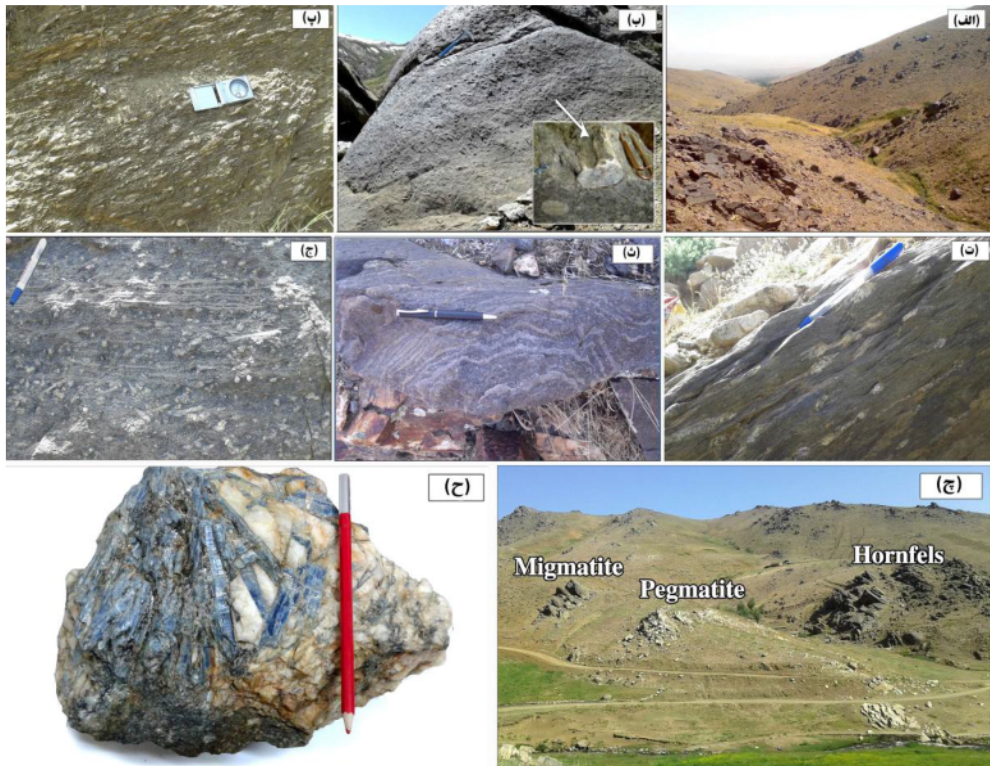


شکل ۱ (الف) موقعیت منطقه مورد بررسی در پهنه سندنج-سیرجان، (ب) نقشه زمین‌شناسی ۱:۲۵۰۰۰۰ ژرف توده الوند و واحدهای دگرگونی پیرامون آن بیضی‌های روی مناطق نمونه‌برداری را نشان می‌دهند.

چگونگی تشکیل به سه دسته تقسیم کرد: ۱- کیانیت‌های موجود در متن سنگ، که در هورنفلس‌های مناطق دیوبین، مریانچ و حیدره قاضی خان دیده می‌شوند (شکل ۲ الف). در این سنگ‌ها کیانیت فقط در مقیاس میکروسکوپیک قابل تشخیص است. ۲- دسته دوم: کیانیت‌های رشد یافته در قالب پورفیروبلاست‌های آندالوزیت که در میگماتیت‌های منطقه سیمین دیده می‌شوند (شکل ۲ ب)، این فرآیند (تبديل آندالوزیت به کیانیت) را فقط در پهنه‌های برشی این منطقه می‌توان مشاهده کرد (شکل‌های ۲ پ و ت)، میگماتیت‌های این منطقه دارای بخش‌های ملانوسوم و لوکوسوم و قابل تفکیک هستند (شکل‌های ۲ ث و ج). در این منطقه، هورنفلس‌ها، پگماتیت‌ها و میگماتیت‌ها را می‌توان در کنار هم مشاهده کرد (شکل ۲ چ). تشکیل کیانیت در پورفیروبلاست‌های آندالوزیت می‌تواند در اثر تنفس موجود در پهنه‌های برشی باشد، چرا که در خارج از پهنه‌های برشی این تغییرات در پورفیروبلاست‌های آندالوزیت دیده نمی‌شود. ۳- کیانیت‌های تبلور یافته در رگه‌های آلمینیو-سیلیکات‌دار که در منطقه فقریه- چشین دیده می‌شود (شکل ۲ ح).

سنگ میزبان توده الوند، ابتدا در اثر گرمای و فشار ناحیه‌ای دچار دگرگونی دینامیکی - گرمایی و سپس در مرحله بعدی دستخوش دگرگونی مجاورتی شده است [۷]. توده‌های عامل این دگرگونی‌ها شامل انواع مختلف بازی تا اسیدی است. در شرق الوند گستره وسیعی از سنگ‌های دارای سیلیکات آلمینیوم دیده می‌شود. ولی در غرب الوند دگرگونی مجاورتی بسیار ساده است و سیلیکات‌های آلمینیوم تنها در نزدیکی توده ظاهر شده‌اند. سنگ‌های دگرگونی مجاورتی در حاشیه شرقی مجموعه ژرف توده‌ای الوند، شیسته‌های لکه‌دار و هورنفلس‌ها هستند، که در اثر گرمای توده و سیالات ناشی از آن دچار دگرگونی مجاورتی شده‌اند. دگرگونی ناحیه‌ای منطقه همدان از نوع فشار کم بوده اما با اضافه شدن کیانیت به مجموعه کانی‌شناسی سنگ‌ها در بعضی نقاط، مجموعه دگرگونی را به سوی باروون متمایل ساخته است. در این پژوهش بیشتر بررسی سنگ‌های دگرگونی حاشیه شرقی و شمال شرقی ژرف توده الوند که شامل هورنفلس‌ها و میگماتیت- هاست (شکل ۱ ب)، مدعی نظر است.

سنگ‌های کیانیت‌دار منطقه همدان را می‌توان از نظر



شکل ۲ (الف) هورنفلس‌های منطقه دیوبین، (ب) کیانیت در قالب پورفیروبلاست‌های آندالوزیت منطقه سیمین، (پ و ت) تبدیل آندالوزیت به کیانیت در میگماتیت‌های پهنه‌های برشی منطقه سیمین، (ث و ج) نمونه‌هایی از بافت چین‌خورده همراه با بخش‌های ملانوسوم و لوکوسوم در میگماتیت‌های منطقه سیمین، (ج) نمایی از همبrij هورنفلس‌ها، پگماتیت‌ها و میگماتیت‌ها در منطقه سیمین، (ح) رگه کوارتر- کیانیت موجود در هورنفلس‌های منطقه فقریه.

های کیانیتدار مورد توجه هستند. سنگنگاری انواع هورنفلس‌ها و میگماتیت‌های موجود در منطقه به شرح زیر است:

آنالوزیت هورنفلس: این سنگ‌ها در مناطق مریانج و دیوین و سیمین یافت می‌شوند که از نظر بافتی و نیز ویژگی‌های ماکروسکوپیکی بسیار شبیه به هم هستند. مجموعه کانی‌های هورنفلس‌های آندالوزیت‌دار شامل بیوتیت، کوارتز، آندالوزیت، فیبرولیت (سیلیمانیت)، گارنت و مقادیر کمی مسکویت است.

گارنت- آندالوزیت هورنفلس: این سنگ‌ها در مناطق مریانج و دیوین دیده می‌شوند، رنگ آنها خاکستری تیره و بافت میکروسکوپیکی آن پورفیروبلاستی است. کانی‌های اصلی سنگ شامل کوارتز، بیوتیت، آندالوزیت صلیبی (کیاستولیت) و گارنت همراه با کانی فرعی مسکویت هستند (شکل ۳ الف).

گارنت- فیبرولیت (سیلیمانیت) هورنفلس: رنگ این سنگ خاکستری تیره و بافت آن پورفیری ریزدانه‌ای است، این سنگ از کانی‌های اصلی بیوتیت، فیبرولیت، گارنت و کوارتز تشکیل شده است و مسکویت به همراه کانی‌های کدر کانی‌های فرعی سنگ را تشکیل می‌دهند و گارنت به صورت بلورهای بی شکل دیده می‌شود (شکل ۳ ب).

گارنت- فیبرولیت- کردیریت هورنفلس: رنگ سنگ خاکستری تیره و بافت آن پورفیری ریزدانه‌ای است، از کانی‌های اصلی بیوتیت، کردیریت، فیبرولیت، گارنت، کوارتز و آندالوزیت تشکیل شده است و مسکویت به همراه کانی‌های کدر کانی‌های فرعی سنگ را تشکیل می‌دهند. آندالوزیت و گارنت به صورت بی شکل هستند و کردیریت‌ها به خوبی رشد نکرده‌اند (شکل ۳ پ).

سیلیمانیت- استارولیت- کیانیت هورنفلس: این هورنفلس‌ها در مناطق جنوب مریانج، فقیره و سیمین دیده می‌شوند. این هورنفلس‌ها در نمونه دستی به رنگ خاکستری تیره هستند و کیانیت فقط در مقیاس میکروسکوپیکی قابل تشخیص است. بافت سنگ ریزدانه‌ای است (شکل ۳ ت) و کانی‌های اصلی سنگ شامل کیانیت، بیوتیت، کوارتز، استارولیت، آندالوزیت، مسکویت، گارنت و فیبرولیت سیلیمانیت هستند. در واقع کیانیت در این سنگ‌ها به صورت نیمه پایدار تشکیل شده است و در تعادل کامل با سایر فازهای آلومینوسیلیکات نیست.

کردیریت کیانیت هورنفلس: از جمله مناطقی که می‌توان کردیریت کیانیت هورنفلس‌ها را مشاهده کرد منطقه دیوین

در منطقه همدان رگه‌های مختلفی وجود دارد که در حالت کلی در بخش‌های دارای درجه دگرگونی متوسط و بالا، یعنی شیسته‌ها، پراکندگی بیشتری دارند. گروه دیگری از رگه‌ها، رگه‌های کوارتزی هستند که دارای انواع سیلیکات‌های آلومینیمیم هستند، انواع مختلفی از این رگه‌ها در منطقه وجود دارد، که بیشتر آن‌ها آندالوزیت‌دار هستند. هرچند فقط در مناطق محدودی کیانیت بیشترین یا حتی گاهی تنها نوع آلومینوسیلیکات موجود در رگه‌ها را تشکیل می‌دهد. در حقیقت بین سنگ‌های کیانیت‌دار منطقه و حضور رگه‌های کوارتز- کیانیت، یک رابطه پیدایشی وجود دارد به طوری که هورنفلس‌های کیانیت‌دار تنها در اطراف رگه‌ها مشاهده می‌شوند و در اطراف این رگه‌ها در سنگ میزان نیز مقداری آلومینوسیلیکات از همان نوع موجود در رگه دیده می‌شود [۱۲]. به طور کلی در تشکیل کیانیت در متن سنگ، درون پورفیروبلاست‌های آندالوزیت و در رگه‌های منطقه همدان فرآیندهای زمین‌ساختی حاکم در منطقه نیز می‌توانند مؤثر باشند، به طوری که در نواحی‌ای که ترکیب شیمیایی سنگ مناسب برای تبلور کیانیت بوده است (مانند پورفیروبلاست‌های آندالوزیت که تبدیل به کیانیت شده‌اند) فرآیندهای زمین- ساختی با افزایش فشار (تنش) موجب تشکیل کیانیت شده‌اند و نیز سیالات دارای ترکیب شیمیایی مناسب تشکیل کیانیت، در پهنه‌های برشی منطقه رسوخ نموده و در اثر فشار حاکم در منطقه رگه‌های کیانیت‌دار را تشکیل داده‌اند [۱۲].

روش انجام پژوهش

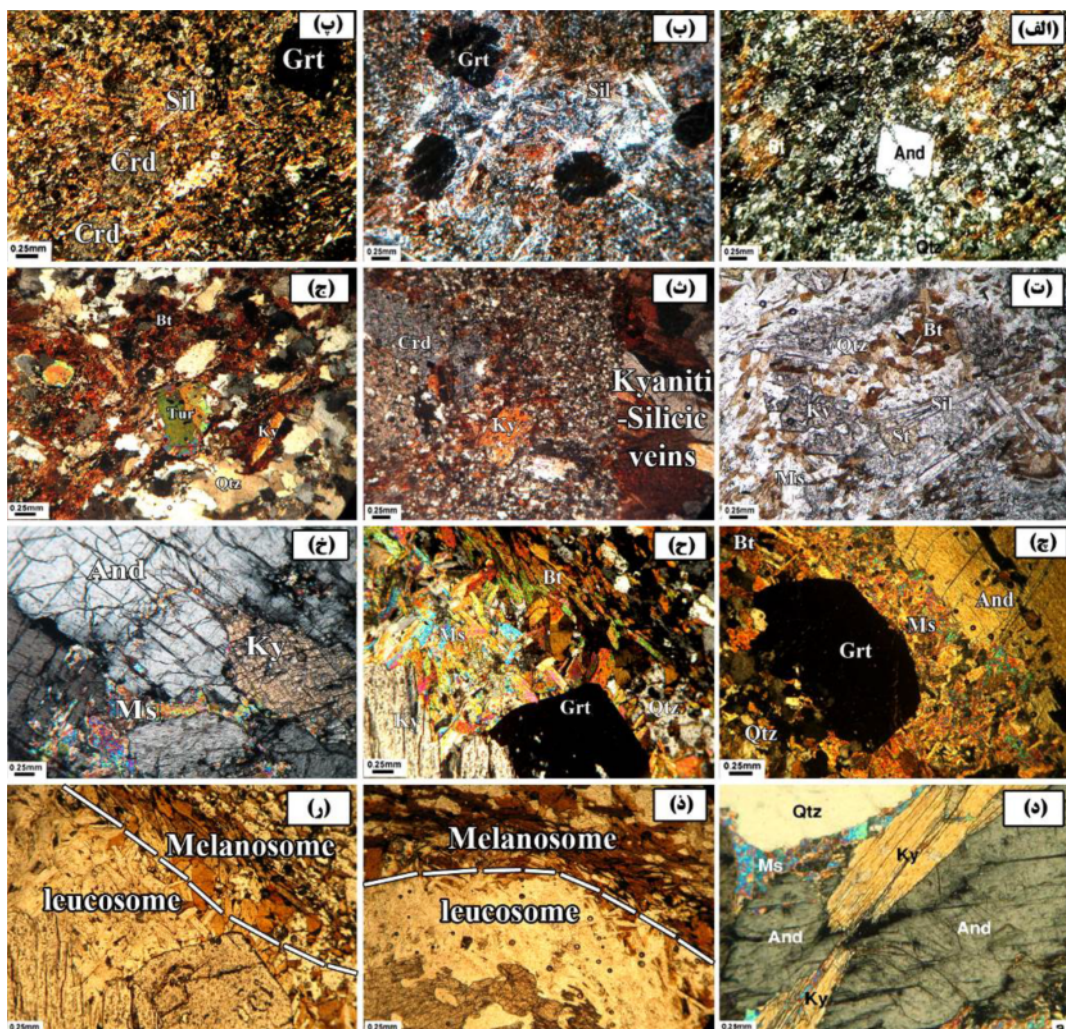
برای انجام این پژوهش طی عملیات صحرایی، حدود ۲۵۰ نمونه دستی برداشت و از این نمونه‌ها، تعداد ۵۰ نمونه مقطع نازک برای بررسی‌های میکروسکوپیکی تهیه شد. تجزیه نقطه- ای بر روی ۵ مقطع نازک از انواع مختلف میگماتیت، هورنفلس و پگماتیت صورت گرفت که طی آن کانی‌های بیوتیت (۶ نقطه)، گارنت (۱۸ نقطه)، پلاژیوکلاز (۳ نقطه) و استارولیت (۳ نقطه) مورد بررسی قرار گرفتند. این تجزیه‌ها، توسط شرکت فرآوری مواد معدنی کرج با دستگاه تجزیه نقطه‌ای مدل SX100 ساخت شرکت Cameca در شرایط ولتاژ ۱۵ kV، فشار 4×10^{-7} torr و جریان ۲۰ A انجام شد.

سنگنگاری

سنگ‌های مورد بررسی در این پژوهش بیشتر شامل مجموعه‌ای از هورنفلس‌ها و میگماتیت‌های است البته در اینجا بیشتر سنگ-

سنگنگاری انواع میگماتیت‌های منطقه به شرح زیر است: سیلیمانیت- آندالوزیت- استارولیت- گارنت میگماتیت: میگماتیت‌ها را می‌توان در منطقه سیمین مشاهده کرد، بافت این سنگ در مقیاس میکروسکوپیک پورفیروی ریزدانه‌ای است (شکل ۳ ج). بخش‌های ملانوسوم و لوکوسوم در این سنگ‌ها متمايزند. کانی‌های اصلی تشکیل دهنده سنگ عبارتند از کوارتز، بیوتیت، آندالوزیت، گارنت، استارولیت، سیلیمانیت، ارتوکلاز، میکروکلین، پلاژیوکلاز و مسکویت. گارنت بی شکل و آندالوزیت‌ها به صورت پورفیروبلاست‌های درشت و نیمه شکل- دار دیده می‌شوند.

است این سنگ‌ها بافت ریزدانه‌ای دارند و دارای کانی‌های اصلی کردیریت، بیوتیت، کوارتز، کیانیت و مسکویت و کانی فرعی تورمالین و کانی‌های کدر هستند. حضور کیانیت در این سنگ‌ها مربوط به دگرگونی ناحیه‌ای پیشین است و کردیریت در دگرگونی مجاورتی بعدی تشکیل شده است (شکل ۳ ث). کیانیت هورنفلس: این سنگ‌ها گسترش محدود داشته و یکی از ویژگی‌های مهم این سنگ‌ها ارتباط تنگاتنگ آن‌ها با رگه‌های کوارتز- کیانیت‌داری است که آن‌ها را قطع کرده‌اند (شکل ۳ ج). این سنگ‌ها بافت ریزدانه‌ای دارند و دارای کانی‌های اصلی بیوتیت، کوارتز، کیانیت و مسکویت، کانی فرعی تورمالین و کانی‌های کدر هستند.



شکل ۳ تصاویر میکروسکوپیکی از (الف) گارنت- آندالوزیت- فیبرولیت هورنفلس در منطقه دیوبین، (ب) گارنت- فیبرولیت- کردیریت هورنفلس در منطقه مریانچ، (ت) سیلیمانیت- استارولیت- آندالوزیت- کیانیت هورنفلس در منطقه دیوبین، (ج) کیانیت هورنفلس در منطقه فقیره، (چ) سیلیمانیت- آندالوزیت- استارولیت- گارنت میگماتیت در منطقه سیمین و (ح) سیلیمانیت- آندالوزیت- کیانیت- استارولیت میگماتیت در منطقه سیمین. (خ، د، ذ، ر) تصاویر (ت، ذ، ر) در نور PPL و سایر تصاویر در نور XPL گرفته شده‌اند و علائم اختصاری برگرفته از مرجع [۱۳] هستند.

کانی کدر هستند. پورفیروبلاست‌های آندالوزیت به صورت بلورهای طویل در نمونه دستی به خوبی قابل مشاهده‌اند. در این سنگ‌ها نیز بخش‌های لوکوسوم و ملانوسوم قابل تمایزند (شکل‌های ۳ ذ، ر).

شیمی کانی‌ها

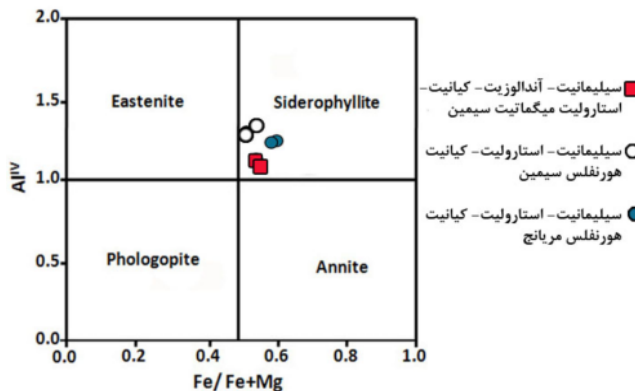
بیوتیت: به منظور بررسی ترکیب شیمیایی بیوتیت موجود در سنگ‌های مورد بررسی، تعداد ۶ نقطه، تجزیه شد (جدول ۱). بر پایه تجزیه‌های نقطه‌ای انجام شده بر بیوتیت‌های منطقه و با توجه به نمودار ترکیب بیوتیت‌ها، همه بیوتیت‌های منطقه در ناحیه سیدروفیلیت قرار دارد (شکل ۴). مقدار کاتیون Ti در بیوتیت‌های مورد بررسی از مرکز به حاشیه بر مقدار Ti افزوده می‌شود که این امر نشان دهنده افزایش دما طی تبلور بیوتیت است [۱۴].

سیلیمانیت- آندالوزیت- کیانیت- استارولیت میگماتیت: این سنگ‌ها در نمونه دستی خاکستری و دارای ساخت پورفیروبلاستی هستند. بافت سنگ لپیدوپورفیروبلاستی و زمینه سنگ متتشکل از کانی‌های کوارتز، بیوتیت، مسکویت بی- شکل، پلازیوکلاز و کانی کدر است. پورفیروبلاست‌ها ۳۰ درصد سنگ را تشکیل داده‌اند که شامل کیانیت، استارولیت و آندالوزیت هستند. کیانیت در متن سنگ وجود ندارد و به همراه استارولیت در قالب پورفیروبلاست‌های آندالوزیت رشد کرده است. در این سنگ‌ها فرایند تبدیل آندالوزیت به کیانیت به وضوح دیده می‌شود (شکل‌های ۳ ح و ۵).

گارنٹ- آندالوزیت- کردیریت میگماتیت: رنگ این سنگ در نمونه دستی خاکستری روشن و بافت آن پورفیروبلاستی است. کانی‌های اصلی تشکیل‌دهنده سنگ عبارتند از: کردیریت، کوارتز، آندالوزیت، بیوتیت، گارنٹ، میکروکلین، ارتوکلاز، پلازیوکلاز و اسپینل و کانی‌های فرعی آن کلریت، مسکویت و

جدول ۱ نتایج تجزیه نقطه‌ای بیوتیت‌های منطقه و محاسبه مقدار کاتیون‌ها بر اساس ۲۲ اکسیژن.

نمونه	سیلیمانیت- آندالوزیت- کیانیت- استارولیت- میگماتیت منطقه سیمین						نمونه	سیلیمانیت- آندالوزیت- کیانیت- استارولیت میگماتیت هورنفلس سیمین منطقه سیمین					
	نقطه آنالیز	۱	۲	۱	۲	۱	۲	نقطه آنالیز	۱	۲	۱	۲	۱
SiO ₂	۳۵.۷۹	۳۵.۷۵	۳۵.۹۰	۳۶.۲۴	۳۴.۹۶	۳۴.۵۵	Si	۵۵.۰	۵۵.۰	۵۴.۲	۵۴.۲	۵۳.۰	۵۳.۵
TiO ₂	۲.۴۵	۲.۴۷	۱.۷۴	۱.۳۷	۱.۱۵	۱.۱۶	Ti	۰.۲۸	۰.۳۰	۰.۲۰	۰.۱۹	۰.۱۳	۰.۱۴
Al ₂ O ₃	۱۸.۹۴	۱۸.۹۶	۱۹.۵۵	۱۹.۷۵	۱۹.۹۰	۱۸.۹۹	Al(iv)	۲.۵۰	۲.۵۰	۲.۵۸	۲.۵۸	۲.۷۰	۲.۱۵
FeO	۱۹.۴۹	۱۹.۴۷	۱۷.۸۳	۱۷.۸۵	۱۹.۸۲	۱۹.۸۴	Al(vi)	.۹۳	.۹۰	.۸۹	.۹۰	.۸۶	.۸۲
MnO	.۰۲۲	.۰۲۱	.۰۰۵	.۰۰۵	.۰۵۱	.۰۰۷	Fe	۲.۵۱	۲.۵۰	۲.۲۵	۲.۲۳	۲.۵۱	۲.۵۷
MgO	۷.۲۵	۷.۲۹	۹.۸۲	۹.۸۲	۹.۸۴	۹.۳۷	Mn	.۰۳	.۰۰	.۰۰۱	.۰۰۱	.۰۰۷	.۰۰۱
CaO	.۰۱	.۰۲	.۰۰	.۰۱	.۱۶	.۰۰۳	Mg	۱.۶۶	۱.۷	۲.۲۱	۲.۱۹	۲.۲۲	۲.۱۶
Na ₂ O	.۰۶	.۰۷	.۰۳۷	.۰۴۰	.۰۳۹	.۰۳۷	Ca	.۰۰	.۰۰	.۰۰	.۰۰	.۰۰۳	.۰۰
K ₂ O	۱۰.۹۷	۱۰.۹۵	۱۰.۷۴	۱۰.۹۳	۹.۵۳	۱۰.۴۵	Na	.۰۰۲	.۰۰	.۰۱	.۰۱۲	.۰۱۱	.۰۱۱
Total	۹۵.۱۸	۹۷	۹۶	۹۶.۷۸	۹۶.۲۶	۹۶.۸۳	K	۲.۱۵	۲.۱	۲.۰۷	۲.۰۹	۱.۸۴	۲.۰۶
							Totals	۱۵.۵۸	۱۵.۵۹	۱۵.۷۳	۱۵.۷۴	۱۵.۷۷	۱۵.۸۷
							Mg / (Fe + Mg)	.۴۰	.۴۰	.۵۰	.۵۰	.۴۵	.۴۶



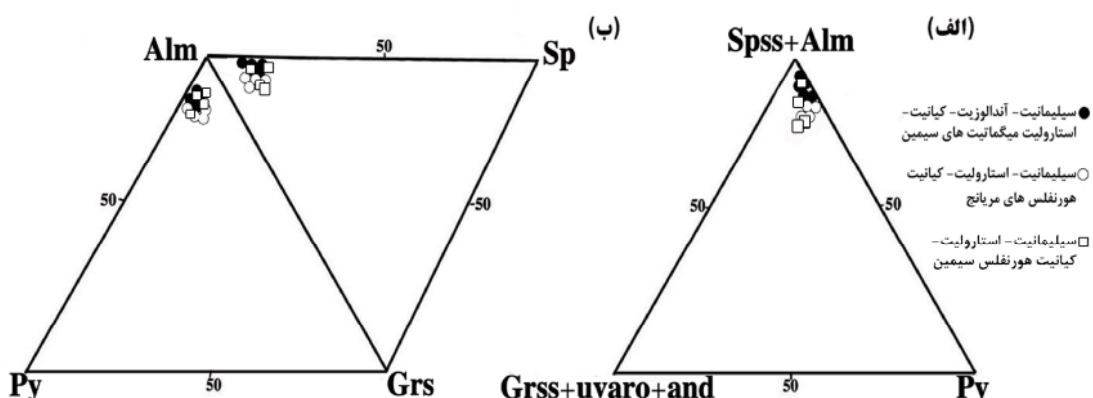
شکل ۴ تقسیم‌بندی بیوتیت‌های سیلیمانیت- آندالوزیت- کیانیت- استارولیت- کیانیت هورنفلس منطقه مریاج بر اساس ترکیب شیمیایی [۱۴].

همان‌گونه که نشان داده شده است دیده می‌شود که عناصر Mn و Ca از مرکز به سمت حاشیه کاهش می‌یابند، در حالی که عنصر Fe به سمت حاشیه افزایش می‌یابد و عنصر Mg در هورنفلس از مرکز به سمت حاشیه افزایش و در میگماتیت کاهش می‌یابد. این تغییرات را می‌توان به رشد چند مرحله‌ای کانی‌ها در این سنگ‌ها نسبت داد.

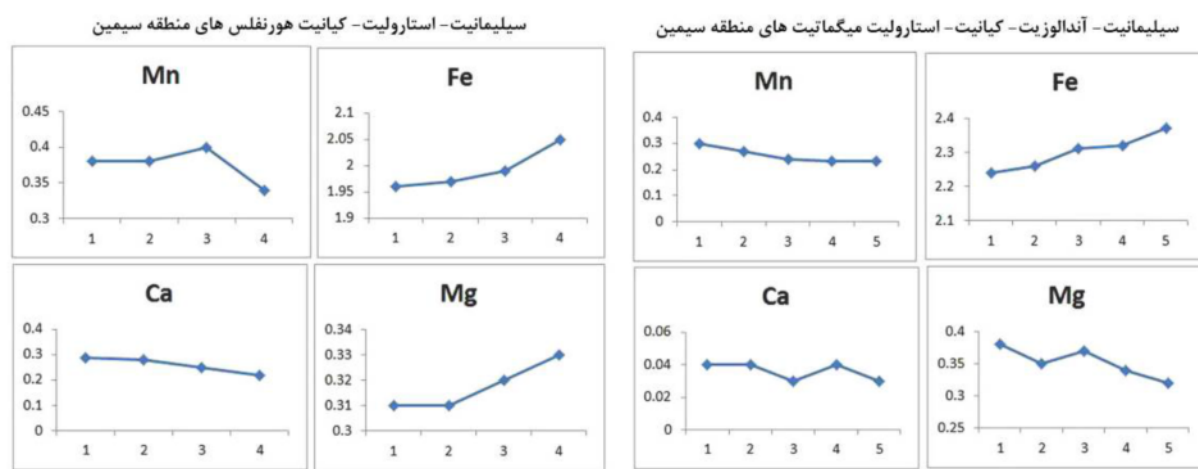
گارنت: به منظور بررسی ترکیب شیمیایی گارنت‌های موجود در سنگ‌های مورد بررسی، تعداد ۱۸ نقطه تجزیه شد (جدول ۲). بر پایه تجزیه‌های نقطه‌ای انجام شده بر گارنت‌های منطقه و تصویر کردن ترکیب آنها بر نمودار تقسیم‌بندی گارنت‌ها (شکل ۵)، ترکیب آنها بیشتر در قطب آلماندین-اسپسارتین متراکز است. در شکل ۶، ترکیب دو بلور گارنت در هورنفلس‌ها و میگماتیت‌های منطقه سیمین از مرکز به حاشیه بررسی شده

جدول ۲ نتایج تجزیه نقطه‌ای گارنت‌های منطقه و محاسبه مقدار کاتیون‌ها بر اساس ۱۲ اکسیژن.

نمونه	سیلیمانیت- استارولیت- کیانیت هورنفلس منطقه سیمین					سیلیمانیت- استارولیت- کیانیت هورنفلس منطقه سیمین					سیلیمانیت- استارولیت- کیانیت هورنفلس منطقه مربیانج				
	(مرکز) ۱	۲	۳	(حاشیه) ۴	(مرکز) ۱	۲	۳	۴	(حاشیه) ۵	(مرکز) ۱	۲	۳	(حاشیه) ۴		
نقاط آنالیز															
SiO ₂	۳۷,۳۷	۳۷,۱۱	۳۶,۶۲	۳۶,۷۰	۳۶,۲۵	۳۶,۴۰	۳۶,۴۱	۳۶,۴۸	۳۶,۰۵	۳۵,۷۳	۳۵,۵۸	۳۵,۵۱	۳۵,۴۶		
TiO ₂	۰,۱۰	۰,۰۷	۰,۱۴	۰,۰۹	۰,۰۰	۰,۰۱	۰,۰۲	۰,۰۱	۰,۰۵	۰,۰۶	۰,۰۸	۰,۰۰			
Al ₂ O ₃	۲۱,۵۶	۲۱,۳۰	۲۱,۱۵	۲۱,۱۴	۲۱,۴۹	۲۱,۶۹	۲۱,۶۱	۲۱,۸۵	۲۲,۰۵	۲۱,۱۲	۲۱,۰۶	۲۱,۱۲	۲۰,۹۴		
FeO	۲۹,۲۰	۲۹,۱۳	۲۹,۱۰	۲۹,۹۵	۳۲,۸۱	۳۳,۰۴	۳۳,۸۶	۳۴,۲۱	۳۴,۷۸	۲۹,۷۸	۳۱,۰۱	۳۲,۳۶	۳۴,۷۴		
MnO	۰,۵۵	۰,۵۴	۰,۸۱	۴,۹۷	۴,۲۶	۳,۸۴	۳,۵۱	۳,۲۹	۳,۳۲	۹,۴۵	۷,۳۸	۴,۶۴	۳,۵۳		
MgO	۲,۵۷	۲,۶۰	۲,۶۱	۲,۷۱	۲,۷۳	۲,۹۱	۳,۰۴	۲,۸۳	۲,۶۶	۱,۹۶	۲,۱۶	۲,۶۱	۲,۵۸		
CaO	۳,۳۴	۳,۲۵	۲,۸۵	۲,۴۶	۰,۴۳	۰,۴۲	۰,۴۰	۰,۴۲	۰,۴۰	۰,۹۶	۱,۱۷	۱,۲۳	۱,۱۲		
Na ₂ O	۰,۰۳	۰,۰۷	۰,۰۶	۰,۰۰	۰,۰۴	۰,۰۲	۰,۰۰	۰,۰۱	۰,۰۰	۰,۰۷	۰,۰۳	۰,۰۰	۰,۰۱		
K ₂ O	۰,۰۰	۰,۰۱	۰,۰۱	۰,۰۰	۰,۰۳	۰,۰۱	۰,۰۲	۰,۰۱	۰,۰۱	۰,۰۰	۰,۰۰	۰,۰۰	۰,۰۰		
Total	۹۹,۷۷	۹۹,۰۸	۹۸,۳۵	۹۸,۰۲	۹۸,۴۴	۹۸,۳۴	۹۸,۸۷	۹۹,۱۱	۹۹,۲۹	۹۹,۱۲	۹۸,۴۵	۹۸,۵۵	۹۸,۳۸		
مقدار کاتیون‌ها بر اساس ۱۲ اکسیژن															
Si	۳,۰۰	۳,۰۰	۲,۹۹	۳,۰۰	۲,۹۶	۲,۹۷	۲,۹۷	۲,۹۶	۲,۹۳	۲,۹۴	۲,۹۴	۲,۹۳	۲,۹۳		
Ti	۰,۰۱	۰,۰۰	۰,۰۱	۰,۰۱	۰,۰۰	۰,۰۰	۰,۰۰	۰,۰۰	۰,۰۰	۰,۰۰	۰,۰۰	۰,۰۰	۰,۰۰		
Al	۲,۰۴	۲,۰۳	۲,۰۳	۲,۰۴	۲,۰۷	۲,۰۹	۲,۰۷	۲,۰۹	۲,۱۲	۲,۰۵	۲,۰۵	۲,۰۵	۲,۰۴		
Fe	۱,۹۶	۱,۹۷	۱,۹۹	۲,۰۵	۲,۱۴	۲,۲۶	۲,۲۶	۲,۳۱	۲,۳۲	۲,۲۷	۲,۰۵	۲,۱۴	۲,۳۰	۲,۴۰	
Mn	۰,۳۸	۰,۳۸	۰,۴۰	۰,۳۴	۰,۳۰	۰,۲۷	۰,۲۴	۰,۲۳	۰,۲۳	۰,۶۶	۰,۵۲	۰,۳۲	۰,۲۵		
Mg	۰,۳۱	۰,۳۱	۰,۳۲	۰,۳۳	۰,۳۸	۰,۳۵	۰,۳۷	۰,۳۴	۰,۳۲	۰,۲۴	۰,۲۷	۰,۳۲	۰,۳۲		
Ca	۰,۲۹	۰,۲۸	۰,۲۵	۰,۲۲	۰,۰۴	۰,۰۴	۰,۰۳	۰,۰۴	۰,۰۳	۰,۰۸	۰,۱۰	۰,۱۱	۰,۱۰		
Na	۰,۰۰	۰,۰۱	۰,۰۱	۰,۰۰	۰,۰۱	۰,۰۰	۰,۰۰	۰,۰۰	۰,۰۰	۰,۰۱	۰,۰۰	۰,۰۰	۰,۰۰		
K	۰,۰۰	۰,۰۰	۰,۰۰	۰,۰۰	۰,۰۰	۰,۰۰	۰,۰۰	۰,۰۰	۰,۰۰	۰,۰۰	۰,۰۰	۰,۰۰	۰,۰۰		
Totals	۷,۹۸	۷,۹۹	۷,۹۹	۷,۹۸	۸,۰۰	۷,۹۸	۸,۰۰	۷,۹۹	۸,۰۱	۸,۰۴	۸,۰۳	۸,۰۴	۸,۰۵		
Almandine	۰,۶۷	۰,۶۷	۰,۶۷	۰,۷۰	۰,۷۶	۰,۷۷	۰,۷۸	۰,۷۹	۰,۸۰	۰,۸۰	۰,۷۱	۰,۷۵	۰,۷۸		
Pyrope	۰,۱۰	۰,۱۱	۰,۱۱	۰,۱۱	۰,۱۳	۰,۱۲	۰,۱۲	۰,۱۲	۰,۱۱	۰,۱۱	۰,۰۹	۰,۱۱	۰,۱۰		
Spessartine	۰,۱۳	۰,۱۳	۰,۱۴	۰,۱۲	۰,۱۰	۰,۰۹	۰,۰۸	۰,۰۸	۰,۰۸	۰,۰۸	۰,۱۷	۰,۱۱	۰,۰۸		
Grossular	۰,۱۰	۰,۱۰	۰,۰۸	۰,۰۷	۰,۰۱	۰,۰۱	۰,۰۱	۰,۰۱	۰,۰۱	۰,۰۱	۰,۰۳	۰,۰۴	۰,۰۳		



شکل ۵ تقسیم‌بندی گارنت‌های سیلیمانیت- آندالوزیت- کیانیت- استارولیت- میگماتیت‌های سیمین و سیلیمانیت- استارولیت- کیانیت هورنفلس‌های مربیانج بر اساس ترکیب شیمیایی (Alm: آلماندین، Sp: اسپسارتین، Grs: گراسولار، Py: پیروپ، uvvaro: اوواروپ، and: آنرادیت) [۱۴].



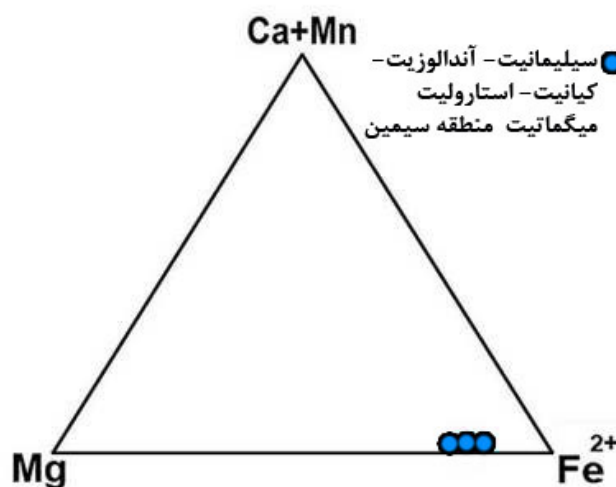
شکل ۶ تغییر تمرکز عناصر در ترکیب از مرکز به حاشیه در سیلیمانیت- آندالوزیت- کیانیت- استارولیت- کیانیت هورنفلس های منطقه سیمین، نقاط ۱ تا ۵ به ترتیب نقاط تجزیه شده از کانی هستند، نقطه ۱ ترکیب مرکز گارنت و نقطه ۴ و ۵ ترکیب حاشیه گارنت هستند.

دست آمده از تجزیه نقطه‌ای نشان داد که استارولیت‌های منطقه دارای ترکیبی غنی از آهن هستند (شکل ۷).

استارولیت: به منظور بررسی ترکیب شیمیایی استارولیت موجود در سنگ‌های مورد بررسی، تعداد ۳ نقطه استارولیت، مورد تجزیه نقطه‌ای قرار گرفت (جدول ۳ الف). ترکیب به

جدول ۳ نتایج تجزیه نقطه‌ای (الف) استارولیت‌ها و محاسبه مقدار کاتیون‌ها بر اساس ۴۸ اکسیژن و ب) پلازیوکلазها و محاسبه مقدار کاتیون‌ها بر اساس ۸ اکسیژن.

(ب)			(الف)				
نمونه	سیلیمانیت- آندالوزیت- کیانیت- استارولیت میگماتیت منطقه سیمین		نمونه	سیلیمانیت- آندالوزیت- کیانیت- استارولیت میگماتیت منطقه سیمین	سیلیمانیت- استارولیت- کیانیت هورنفلس منطقه سیمین		
نقطه آنالیز	۱	۲	۳	نقطه آنالیز	۱	۲	۳
SiO ₂	۵۶,۳۴	۵۶,۱۰	۵۵,۴۶	SiO ₂	۲۷,۷۹	۲۸,۱۴	۲۷,۴۶
TiO ₂	۰,۰۱	۰,۰۰	۰,۰۲	TiO ₂	۰,۰۴	۰,۳۶	۰,۳۶
Al ₂ O ₃	۲۷,۰۹	۲۷,۵۰	۲۷,۲۸	Al ₂ O ₃	۵۲,۸۷	۵۴,۴۳	۵۴,۵۴
FeO	۰,۰۲	۰,۰۱	۰,۰۰	FeO	۱۲,۷۵	۱۳,۶۲	۱۲,۳
MnO	۰,۰۰	۰,۰۰	۰,۰۰	MnO	۰,۱۷	۰,۱۷	۰,۲۲
MgO	۰,۰۱	۰,۰۱	۰,۰۱	MgO	۱,۶۶	۱,۵۶	۱,۶۱
CaO	۹,۵۵	۹,۸۷	۹,۸۳	CaO	۰,۰۲	۰,۰۰	۰,۰۰
Na ₂ O	۶,۸۸	۶,۴۷	۶,۵۸	Na ₂ O	۰,۱۱	۰,۰۱	۰,۰۹
K ₂ O	۰,۰۹	۰,۰۵	۰,۰۷	K ₂ O	۰,۰۱	۰,۰۱	۰,۰۱
Total	۹۹,۹۹	۱۰۰,۰۱	۹۹,۲۵	Total	۹۷,۴۲	۹۸,۳	۹۷,۶۲
مقدار کاتیون‌ها بر اساس ۸ اکسیژن			مقدار کاتیون‌ها بر اساس ۴۸ اکسیژن				
Si	۲,۵۳	۲,۵۲	۲,۵۱	Si	۸,۰۷	۸,۰۹	۷,۹۵
Ti	۰,۰۰	۰,۰۰	۰,۰۰	Ti	۰,۰۰	۰,۰۷	۰,۰۷
Al	۱,۴۳	۱,۴۵	۱,۴۶	Al	۱۸,۴۵	۱۸,۴۴	۱۸,۶۱
Fe	۰,۰۰	۰,۰۰	۰,۰۰	Fe	۳,۳۴	۳,۲۷	۳,۲۲
Mn	۰,۰۰	۰,۰۰	۰,۰۰	Mn	۰,۰۴	۰,۰۴	۰,۰۵
Mg	۰,۰۰	۰,۰۰	۰,۰۰	Mg	۰,۷۱	۰,۶۶	۰,۶۹
Ca	۰,۴۶	۰,۴۷	۰,۴۷	Ca	۰,۰۰	۰,۰۰	۰,۰۰
Na	۰,۶۰	۰,۵۶	۰,۵۷	Na	۰,۰۶	۰,۰۰	۰,۰۵
K	۰,۰۰	۰,۰۰	۰,۰۰	K	۰,۰۰	۰,۰۰	۰,۰۰
Total	۵,۰۴	۵,۰۲	۵,۰۴	Total	۳۰,۷۱	۳۰,۶۱	۳۰,۶۸



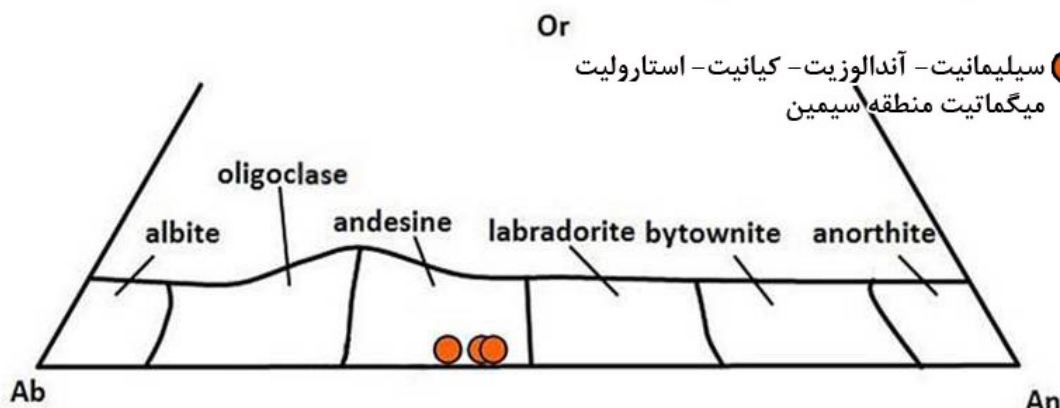
شکل ۷ تقسیم‌بندی استارولیت‌های سیلیمانیت- آندالوزیت- کیانیت- استارولیت میگماتیت‌های منطقه سیمین بر حسب ترکیب شیمیایی.

ترکیب حاشیه کانی‌های در حال تعادل استفاده شد. یکی از این روش‌ها برای تعیین دما، استفاده از روش تبادل کاتیونی بین گارنت و بیوتیت است. برای این منظور از ترکیب شیمیایی حاشیه بیوتیت‌های اوپله موجود در زمینه سنگ که در نزدیکی گارنت قرار دارند استفاده شد. روش‌های استفاده شده برای گارنت قرار دارند استفاده شد. روش‌های استفاده شده برای دما- فشارسنگی در این پژوهش عبارتند از: ۱) دماسنگی با استفاده از تک کانی بیوتیت، ۲) دماسنگی با استفاده از تبادل کاتیونی بین جفت کانی‌ها مانند زوج کانی گارنت- بیوتیت (متداول‌ترین زمین دماسنگ) و ۳) فشارسنگی با استفاده از واکنش‌های انتقالی محض (مانند تعادل ترمودینامیکی کانی- های گارنت- پلازیوکلاز- بیوتیت- کوارتز (سامانه GPBQ) و تعادل ترمودینامیکی کانی‌های گارنت- پلازیوکلاز- الومینوسیلیکات- کوارتز (سامانه GPAQ).

فلدسپارها: به منظور بررسی ترکیب شیمیایی فلدسپارهای موجود در سنگ‌های مورد بررسی، تعداد ۳ نقطه پلازیوکلاز، مورد تجزیه نقطه‌ای قرار گرفت (جدول ۳ ب) ترکیب به دست آمده از تجزیه نقطه‌ای پلازیوکلاز، بر اساس نمودار تقسیم‌بندی پلازیوکلازها [۱۴] در محدوده‌ی آندزین قرار دارد (شکل ۸).

دما- فشارسنگی

روش‌های دماسنگی و فشارسنگی را تنها زمانی می‌توان به کار برد که بافت کانی‌ها در سنگ و روابط کنارزایی بین کانی‌های موجود در سنگ به خوبی مشخص باشند و به علاوه بتوان نشان داد که مجموعه کانی‌های سنگ مورد بررسی در حالت غیرتعادلی نیستند، بنابر این در انتخاب کانی‌ها به عنوان کنارزا باید شرایط تعادل وجود داشته باشد [۱۶، ۱۵]. در این پژوهش از دما- فشارسنگی کاتیونی استفاده شد. به این منظور از



شکل ۸ تقسیم‌بندی پلازیوکلازهای سیلیمانیت- آندالوزیت- کیانیت- استارولیت میگماتیت‌های منطقه سیمین بر اساس ترکیب‌شیمیایی [۱۴].

ثابت a , b و c محاسبه می‌شود، بر این اساس و با توجه به داده‌های حاصل از تجزیه بلورهای بیوپتیت، بیوپتیت‌های موجود در میگماتیت‌ها و هورنفلس‌های دره سیمین به ترتیب میانگین دما بی در حدود ۶۳۳ و ۵۸۷ درجه سانتی‌گراد و بیوپتیت‌های موجود در هورنفلس‌های مریانچ، دمای ۴۸۳ درجه سانتی‌گراد را نشان می‌دهند (جدول ۴) و نتایج دماسنجدی با استفاده از مقدار Ti نسبت به $Mg/(Mg+Fe)$ برای این سنگ‌ها در شکل ۹ تصویر شده است.

دماسنجدی با استفاده از تک کانی بیوپتیت

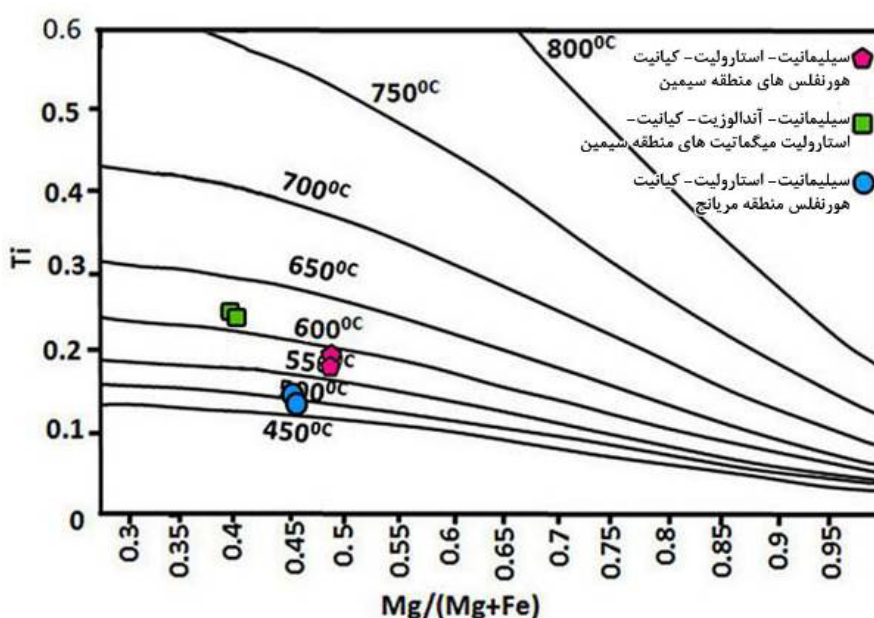
کانی بیوپتیت از میزبان‌های مهم Ti در سرگ‌های دگرگونی محسوب می‌شود. جایگزینی این عنصر در ساختار بیوپتیت ارتباط مستقیمی با دما دارد [۱۸، ۱۷]. در این روش برای اندازه‌گیری دما از دماسنجد بیوپتیت بر پایه Ti و Mg موجود در ساختار این کانی در فشار ۴ تا ۶ کیلوبار و از معادله

$$T = \{[\ln(Ti) - a - c(X_{Mg})^3]/b\}^{0.333} \quad (1)$$

استفاده شد. در این معادله T دما بر حسب درجه سانتی‌گراد است که با استفاده از مقدار Ti و X_{Mg} کانی بیوپتیت و ضرایب

جدول ۴ نتایج دماسنجدی با استفاده از تک کانی بیوپتیت برای سنگ‌های دگرگونی مناطق سیمین و مریانچ

سیلیمانیت- استارولیت- کیانیت هورنفلس منطقه سیمین			
	X _{Mg}	Ti	T(°C)
Biotite ۱	۰,۴۹۵	۰,۱۹۵	۵۸۶
Biotite ۲	۰,۴۹۵	۰,۱۹۸	۵۸۹
سیلیمانیت- آندالوزیت- کیانیت- استارولیت میگماتیت منطقه سیمین			
Biotite ۱	۰,۳۹۸	۰,۲۸۳	۶۳۶
Biotite ۲	۰,۳۹۹	۰,۲۹۱	۶۲۹
سیلیمانیت- استارولیت- کیانیت هورنفلس منطقه مریانچ			
Biotite ۱	۰,۴۵۷	۰,۱۳۱	۴۷۰
Biotite ۲	۰,۴۶۹	۰,۱۴۱	۴۹۶



شکل ۹ نتایج دماسنجدی بیوپتیت سنگ‌های دگرگونی مناطق سیمین و مریانچ.

کوارتز در طیف وسیعی از درجات دگرگونی، از پهنه گارنت تا سیلیمانیت پایین در سنگ‌های دگرگونی تشکیل می‌شوند. در این روش، فشار با استفاده از مجموعه کانی‌های فشارسنجد GPBQ محاسبه می‌شود [۲۷، ۲۸]. فشار با این روش برای میگماتیت‌های منطقه سیمین در گستره ۳،۸۵ تا ۳،۸۸ کیلوبار به دست آمده است (جدول ۶).

فشارسنجدی با استفاده از تعادل ترمودینامیکی (GASP) واکنش زیر که براساس فشارسنجد GASP است به طور گسترده‌ای برای سنگ‌های رخساره آمفیبولیت و گرانولیت به رفته است [۲۱، ۲۹، ۳۲].



برای این زمین فشارسنجد، ۹ نوع واسنجی متفاوت وجود دارد. از این سامانه، برای برآورد فشار در میگماتیت‌های گارنت‌دار استفاده شد. فشار با این روش برای میگماتیت‌های منطقه سیمین ۴،۱ کیلوبار محاسبه شد (جدول ۷).

دماسنجدی به روش گارنت-بیوتیت

محاسبات دماسنجدی گارنت-بیوتیت بر اساس تجزیه بیوتیت‌ها و گارنت‌های هم زیست در دو نمونه هورنفلس و میگماتیت انجام شده است [۱۹-۲۶]. با فرض انتشار سریع کاتیونی و رسیدن به تعادل بین حاشیه کانی و زمینه، از قسمت حاشیه‌ای گارنت و بیوتیت برای دماسنجدی استفاده شد. در این نمونه کوارتز، ارتوکلاز، پلاژیوکلاز، گارنت و بیوتیت به عنوان کانی‌های اصلی در نظر گرفته شده‌اند. برای محاسبه دما با این روش، فشار حداقل ۳/۸ کیلو بار منظور شد. بر اساس دماسنجد مریانج با گارنت-بیوتیت، میانگین دمای هورنفلس‌های منطقه مریانج با استفاده از واسنجی‌های مختلف در حدود ۵۲۴ درجه سانتی-گراد و میانگین دمای میگماتیت‌ها و هورنفلس‌های سیمین به ترتیب در حدود ۶۱۸ و ۵۸۰ درجه سانتی-گراد (جدول ۵) محاسبه شد.

فشارسنجدی با استفاده از تعادل ترمودینامیکی (GPBQ)

مجموعه کانی‌های گارنت، پلاژیوکلاز، بیوتیت مسکویت و

جدول ۵ داده‌های دماسنجدی برپایه تبادل کاتیونی گارنت-بیوتیت هورنفلس‌ها و میگماتیت‌های منطقه با استفاده از واسنجی‌های مختلف در فشار جمجمه کانی‌های گارنت، پلاژیوکلاز، بیوتیت مسکویت و ۳/۸ Kbar (بر حسب درجه سانتی-گراد).

واسنجی‌های مختلف	سیلیمانیت- آندالوزیت- کیانیت- استارولیت میگماتیت منطقه سیمین	سیلیمانیت- استارولیت- کیانیت هورنفلس منطقه سیمین	سیلیمانیت- استارولیت- کیانیت هورنفلس منطقه مریانج
Ln Kd (Gt - Bi)	۱,۶	۱,۶	۱,۸
Thompson, 76	۶۲۷	۶۲۵	۵۶۷
Holdway & Lee, 77	۶۰۹	۶۰۷	۵۵۷
Lavrenteva & Perchuck, 81	۶۲۴	۶۲۳	۵۸۱
Hodges & Spear, 82	۶۳۰	۶۲۸	۵۷۷
Pigage & Greenwood	۶۷۰	۶۷۴	۶۵۲
Perchuk & Lavrenteva, 83-1	۶۲۸	۶۲۷	۵۸۵
Perchuk & Lavrenteva, 83-2	۶۲۰	۶۱۸	۵۷۷
Perchuk & Lavrenteva, 83-3	۶۰۲	۶۰۲	۵۶۱
Ganguly & Saxena, 84-1	۶۲۳	۶۲۱	۵۵۳
Perchuk et al., 85	۶۰۱	۶۰۰	۵۹۰
Indares & Martignole, 85-2	۵۴۲	۵۳۹	۵۵۸
williams & Garbling, 90	۶۸۹	۶۸۶	۶۵۱
Bathacharya et al., 92-1	۵۶۹	۵۶۸	۵۳۲
میانگین	۶۱۹	۶۱۷	۵۸۰

واسنجی‌های مختلف	سیلیمانیت- استارولیت- کیانیت هورنفلس منطقه مریانج
Ln Kd (Gt - Bi)	۱,۹
Thompson, 76	۵۴۷
Goldman & Albee, 77-1	۴۹۶
Goldman & Albee, 77-2	۴۷۵
Holdway & Lee, 77	۵۳۹
Ferry & Spear, 78	۵۲۲
Hodges & Spear, 82	۵۳۵
Perchuk & Lavrenteva, 83-3	۵۴۷
Ganguly & Saxena, 84-1	۵۲۹
Ganguly & Saxena, 84-2	۵۲۱
Perchuk et al., 85	۵۵۶
Indares & Martignole, 85-1	۴۹۴
Indares & Martignole, 85-2	۵۱۰
Dasgupta et al., 91	۴۸۴
Bathacharya et al., 92-1	۵۲۱
Bathacharya et al., 92-2	۴۸۹
میانگین	۵۱۸

جدول ۶ فشار اندازه‌گیری شده میگماتیت‌های منطقه سیمین (بر حسب بار) توسط سامانه GPBQ در دمای ۵۵۰ درجه سانتی گراد [۲۸].

واسنجی‌ها	سیلیمانیت-آندالوزیت-کیانیت-استارولیت میگماتیت منطقه سیمین
Hoisch, 1990-Mg	۳۹۲۴
Hoisch, 1990-Fe	۳۷۸۸
میانگین	۳۸۵۶
	۳۸۸۰

جدول ۷ فشار اندازه‌گیری شده میگماتیت‌های منطقه سیمین، (بر حسب بار) توسط سامانه GASP در دمای ۵۵۰ درجه سانتی گراد، بر اساس
واسنجی‌های مختلف.

واسنجی‌های مختلف	سیلیمانیت-آندالوزیت-کیانیت-استارولیت میگماتیت منطقه سیمین
Newton & Haselton, 81-Sill	۳۸۸۲
Newton & Haselton, 81-And	۳۹۲۰
Newton & Haselton, 81-Ky	۴۰۴۱
Hodges & Spear, 82-Sill	۳۶۶۵
Hodges & Spear, 82-And	۳۶۸۸
Hodges & Spear, 82-Ky	۳۸۶۴
Ganguly & Saxena, 84-Sill	۳۶۴۳
Ganguly & Saxena, 84-And	۳۶۶۵
Ganguly & Saxena, 84-Ky	۳۸۴۶
Hodges & Crowley, 85-Sill	۴۱۰۱
Hodges & Crowley, 85-Sill (DV)	۴۱۳۱
Hodges & Crowley, 85-And	۴۳۶۹
Hodges & Crowley, 85-And (DV)	۴۴۰۳
Hodges & Crowley, 85-Ky	۴۳۶۳
Hodges & Crowley, 85-Ky (DV)	۴۳۸۹
Koziol, 89-Sill	۴۸۳۸
Koziol, 89-Sill	۴۳۰۸
Koziol, 89-Ky	۴۸۸۷
Koziol & Newton 88-Ky	۴۹۴۷
Koziol & Newton 88-Sill	۴۷۴۶
میانگین	۴۱۸۵

می‌دهند. این فرآیند نشان می‌دهد که هم دگرگونی ناحیه‌ای و هم مجاورتی بر این نشست‌ها مؤثر بوده است. سیر دگرگونی شیست‌های لکه‌دار به هورنفلس‌های آندالوزیت‌دار از حاشیه هاله دگرگونی به طرف ژرف توده به خوبی قابل مشاهده است. گاهی کیانیت در متن هورنفلس‌ها دیده می‌شود. یکی از ویژگی‌های مهم این سنگ‌ها ارتباط تنگاتنگ آن‌ها با رگه‌های کوارتز-کیانیت داری است که آن‌ها را قطع کرده‌اند.

علاوه بر شیست‌ها و هورنفلس‌ها، در برخی نقاط در منطقه همدان سنگ‌های میگماتیتی رخنمون دارند. حجم اصلی

بحث

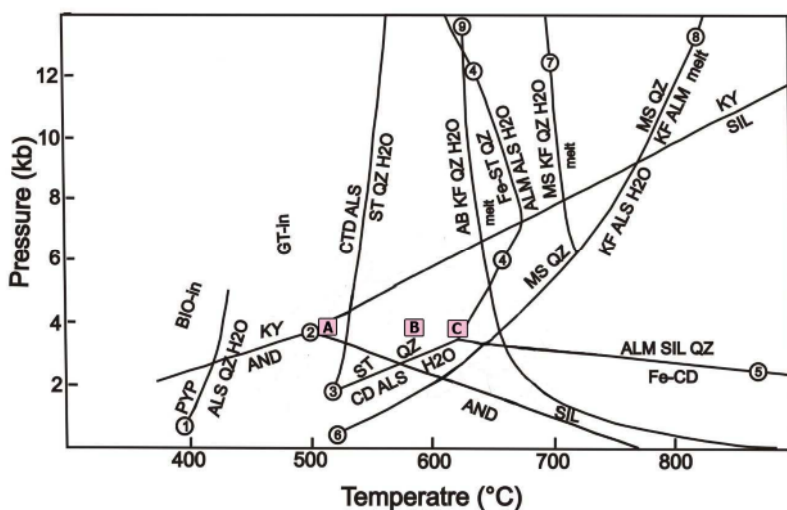
سنگ‌های دگرگونی مجاورتی که شامل انواع شیست‌های لکه‌دار و هورنفلس‌ها هستند در اطراف توده نفوذی الوند قرار دارند. این سنگ‌ها در نتیجه تأثیر گرمایی نفوذ توده‌های بازی و اسیدی بر سنگ‌های قدیمی‌تر به وجود آمداند. در منطقه مورد بررسی، دگرگونی مجاورتی بر دگرگونی ناحیه‌ای منطبق است، زیرا توده‌های نفوذی پس از دگرگونی ناحیه‌ای به منطقه تزریق شده‌اند. شیست‌ها دور از همبری مجموعه ژرف توده‌ای الوند دیده می‌شوند و با نزدیکشدن به توده نفوذی، پولک‌های میکادرشت‌تر می‌شوند و شیستوارگی متوجه تا ضعیف را نشان

هم در یک مکان معین و یا حتی در یک نمونه دستی یا مقطع نازک مشاهده کرد. وفور آندالوزیت، کریدیریت، سیلیمانیت و استارولیت در دگرگونی ناحیه‌ای دینامیکی-گرمایی قدیمی‌تر نشان‌دهنده رخداد یک دگرگونی کم فشار و دمای بالا در منطقه است که البته فشار آن از دگرگونی نوع آبوقوما بیشتر اما از دگرگونی نوع بارووین کمتر بوده و بسیار شبیه دگرگونی نوع بوچان است. پیشتر نیز برخی از پژوهشگران [۱۲،۶] به رشد چند مرحله‌ای بعضی از بلورهای آندالوزیت اشاره نموده‌اند. با توجه به برسی‌های دما-فشارسنجی، فشار حاکم بر دگرگونی ناحیه‌ای دینامیکی-گرمایی همزمان با تزریق توده‌های گرانیتی به بیش از ۴ کیلوبار نیز رسیده است [۶]. ژرف توده‌ای که در منطقه رخمنو دارند هم‌زمان و پس از دگرگونی ناحیه‌ای دینامیکی-گرمایی جایگزین شده‌اند. با توجه به مطالب گفته شده در مورد شرایط تشکیل کانی‌ها، مجموعه کانی‌های کنارزا در سنگ‌های مختلف بر شبکه سنگ‌زایی در شکل ۱۰ نمایش داده شده است [۳۳-۳۷].

در واقع کیانیت در میگماتیت‌ها به صورت نیمه پایدار (meta stable) تشکیل شده است و در تعادل کامل با سایر فازهای آلومینوسیلیکات نیست و به طور پراکنده در پهنه‌هایی در گستره‌ی میگماتیتی که گمان می‌رود پهنه‌هایی برشی باشند یافت می‌شود. در این سنگ‌ها به سختی می‌توان بخش‌های نئوسوم (لوکوسوم و ملانوسوم) و پالئوسوم (مزوسوم) را متمایز کرد. در واقع در میگماتیت‌های مورد بررسی دما-فشارسنجی بخش‌های لوکوسوم و ملانوسوم به دلیل عدم گسترش کافی آنها دشوار است و در نتیجه دما-فشارسنجی مزوسوم بر پایه‌ی کانی‌های موجود در آن بوده است که دما-فشارسنجی مزوسوم دماهای اندکی پایین‌تر از میگماتیت‌زایی را نشان می‌دهد و دماهای بدست آمده کمی از حد قابل انتظار برای ملانوسوم یا لوکوسوم پایین‌تر است. در واقع نتایج مovid این است که کیانیت یک مجموعه در تعادل با کانی‌های سنگ مورد بررسی نیست و در حالت نیمه پایدار در کنار آنها قرار گرفته است. با توجه به نتایج دما-فشارسنجی‌های انجام شده و قرار گرفتن دما-فشار تشکیل سنگ‌های مورد بررسی در گستره چندريخته‌ای گرمایی آلومینوسیلیکات (سیلیمانیت)، کیانیت موجود در سنگ‌ها در تعادل ترمودینامیکی با کانی‌های همراه خود نبوده است.

میگماتیت‌های منطقه همدان را از نظر درجه ذوب‌بخشی، می‌توان در حد متاتکسیت دانست. این سنگ‌ها دارای بافت لایه‌ای هستند؛ به طوری که رگه‌های نئوسوم (لوکوسوم و ملانوسوم) نسبتاً باریک در بین لایه‌های ضخیم‌تر پالئوسوم (مزوسوم) پراکنده هستند [۱۲]. در مورد شکل‌گیری این میگماتیت‌ها اختلاف نظر وجود دارد، برخی آنها را ناحیه‌ای (برای مثال [۷]) و برخی مجاورتی (از جمله [۱۲]) دانسته‌اند و هدف ما در اینجا رد یا اثبات این نظریات نیست. البته به نظر مرسد که دمای محیط دگرگونی چه دما در نزدیکی توده‌های مافیک تا فلزی منطقه و چه در نتیجه گرمایی دگرگونی ناحیه‌ای پیش از تزریق توده‌ها به درجه ذوب‌بخشی سنگ‌ها رسیده است. به نظر می‌رسد که حضور کیانیت‌ها مربوط به بعد از اوج دگرگونی به ویژه در مناطق برشی باشد [۹]. حضور کیانیت‌ها قدیمی در هاله مجاورتی توسط [۶] گزارش شده است، این کیانیت‌ها باقی مانده دگرگونی دینامیکی-گرمایی محسوب می‌شوند و مؤید این نکته هستند که پهنه کیانیت در دگرگونی دینامیکی-گرمایی سپس تحت تأثیر دگرگونی مجاورتی قرار گرفته است.

تبیلور و تحول کانی‌های دگرگونی در ارتباط با رژیم گرمایی پوسته زمین در زمان تشکیل آن‌هاست. گاهی هر سه نوع بلور آلومینوسیلیکات (یعنی آندالوزیت، سیلیمانیت (فیبرولیت) و کیانیت) در سنگ‌های دگرگونی همزمان با استارولیت دیده می‌شوند. با توجه به اینکه نقطه سه‌گانه پایداری این کانی‌ها دمایی حدود ۵۰۰ درجه سانتی‌گراد دارد و کمینه دمای تشکیل استارولیت حدود ۵۲۰ درجه سانتی‌گراد است، همه کانی‌های نامبرده همزمان با استارولیت تشکیل نشده‌اند. از آنجایی که رشد همزمان سه‌تایی یا دوتایی آلومینوسیلیکات‌ها در مقاطع نازک دیده نمی‌شود، می‌توان گفت که آلومینوسیلیکات‌ها در رخدادهای دگرگونی مختلف شکل گرفته‌اند. دگرگونی‌های چندريختی آلومینوسیلیکات‌ها نیازمند بازسازی کامل ساختار آلومینوسیلیکات‌هاست. از آنجاکه واکنش‌های جامد-جامد با تغییرات انرژی آزاد کمی همراه هستند، حضور بقایای نیمه پایدار یک چندريخت در منطقه پایداری یک چند ریخت دیگر امری بسیار متداول است. بنابراین هر سه چندريخت آلومینوسیلیکات را اغلب می‌توان با



شکل ۱۰ شرایط دما و فشار تشکیل کانی‌های کنارزا در سنگ‌های منطقه مورد بررسی در شبکه سنگ‌زایی رسوبات ورقه‌ای دگرگون شده که در آن-ها فشار کل برابر با فشار آب است (به استثنای منحنی ۸)، علاوه اختصاری از مرجع [۳۳] = ۱، [۳۴] = ۲، [۳۵] = ۳؛ گسترهای دما-فشار پایین استارولیت آهن‌دار + کوارتز از مرجع [۳۳] = ۴، [۳۵] = ۵، [۳۳] = ۶، [۱۴] = ۷ و [۳۷] = ۸، توجه شود که منحنی شماره ۸ مربوط به شرایط خشک (بدون آب) است. [۳۳] نقاط A و B و C موقعیت میانگین فشار و دمای بدست آمده برای نمونه‌های مورد بررسی را نشان می‌دهد. A: سیلیمانیت-استارولیت-استارولیت-کیانیت هورنفلس منطقه مریانچ، B: سیلیمانیت-کیانیت هورنفلس منطقه سیمین C: سیلیمانیت-آندازویت-کیانیت-استارولیت میگماتیت منطقه سیمین.

محاسبه شد. در نهایت فشار به دست آمده برای میگماتیت‌های منطقه در فشارسنجی با سامانه GPBQ، در حدود ۳/۸ کیلوبار و در فشارسنجی با استفاده از تعادل ترمودینامیکی (GPAQ) یا GASP، در حدود ۴/۱ کیلو بار محاسبه شد. با توجه به قرار گرفتن دما-فشار تشکیل سنگ‌های مورد بررسی در گستره چند ریختی‌های گرمایی آلومینوسیلیکات (سیلیمانیت)، کیانیت موجود در سنگ‌ها در تعادل ترمودینامیکی با کانی‌های همراه خود نبوده است.

مراجع

- [1] Powell R., "Equilibrium Thermodynamics in Petrology, An Introduction", Harper & Row, London (1978).
- [2] Ferry J. M., Spear F. S., "Experimental calibration of the partitioning of Fe and Mg between biotite and garnet. Contrib", Contributions to Mineralogy and Petrology (1978) 66, 113–117.
- [3] Spear F. S., "Metamorphic phase equilibria and pressure- temperature time paths", Mineralogical Society of America. Monograph (1992).

برداشت

شرایط دما-فشار تشکیل هورنفلس‌ها و میگماتیت‌های کیانیت‌دار منطقه همدان بر پایه‌ی شیمی کانی‌ها برآورد شد که بر این اساس ترکیب شیمیایی گارنت‌های منطقه در قطب اسپسارتین-آلمندین، ترکیب بیوتیت‌های منطقه در محدوده‌ی سیدروفیلیت و ترکیب پلاژیوکلازهای منطقه در محدوده‌ی آندزین جای گرفتند و استارولیت‌های منطقه دارای ترکیبی غنی از آهن هستند. برای به دست آوردن دمای منطقه از دو روش دماسنجی استفاده شد: ۱- دماسنجی با استفاده از تک-کانی بیوتیت: که در این روش، بیوتیت‌های موجود در میگماتیت‌ها و هورنفلس‌های کیانیت‌دار دره سیمین به ترتیب میانگین دمایی در حدود ۶۳۳ و ۵۸۷ درجه سانتی‌گراد و بیوتیت‌های موجود در هورنفلس‌های کیانیت دار مریانچ، دمای ۴۸۳ درجه سانتی‌گراد را نشان دادند و ۲- دماسنجی به روش تبادل کاتیونی زوج کانی گارنت-بیوتیت که به این ترتیب با استفاده از واسنگی‌های مختلف، میانگین دمای هورنفلس‌های کیانیت‌دار منطقه مریانچ در حدود ۵۲۴ درجه سانتی‌گراد و میانگین دمای میگماتیت‌ها و هورنفلس‌های کیانیت‌دار دره سیمین به ترتیب در حدود ۶۱۸ و ۵۸۰ درجه سانتی‌گراد

- sapphirine-bearing granulites from the Gruf Complex, Italian Central Alps", Journal of Petrology (1984) 25, 766-803.
- [17] Henry D.J., Guidotti, C.V., "Titanium in biotite from metapelitic rocks: Temperature effects, crystal-chemical controls, and petrologic applications", American Mineralogist (2002) 87 375-382.
- [18] Henry D.J., Guidotti C.V., Thomson J.A., "The Ti-saturation surface for low-to-medium pressure metapelitic biotites: implications for geothermometry and Ti substitution mechanisms implications for geothermometry and Ti-substitution mechanisms", American Mineralogist (2005) 90, 316-328.
- [19] Thompson A. B., "Mineral reaction in olitic rocks: I Prediction in $P-T-X$ (Fe-Mg) phase relations. II. Calculations of some $P-T-X$ (Fe-Mg) phase relations", American Journal of Science (1976) 276, 401-454.
- [20] Goldman D. S. Y., Albee A.L., "Correlation of Mg/Fe partitioning between garnet and biotite with $^{18}O/^{16}O$ partitioning between quartz and magnetite", American Journal of Science (1977) 277, 750-767.
- [21] Hodges K. V. Y., Spear F. S., "Geothermometry, geobarometry and the Al_2SiO_5 triple point at Mt. Moosilauke, New Hampshire", American Mineralogist (1982) 67, 1118-1134.
- [22] Perchuk L. L. Y., Larent'eva I. V., "Experimental investigation of exchange equilibria in the system cordierite-garnet-biotite. In: S.K. Saxena (Ed) Kinetics and Equilibrium in Mineral Reactions", Advances in Physical Geochemistry (1983) 3, 199-239.
- [23] Ganguly J., Saxena S. K., "Mixing properties of aluminosilicate gneisses: constraints from natural and experimental data, and applicationst o geothermo-barometry", American Mineralogist (1984) 69, 88-97.
- [24] Perchuk L. L., Aranovich L. Ya., Podlesskii K. K., Lavrenteva I. V., "Precambrian granulites of the Aldan Shield, eastern Siberia USSR", Journal Metamorphic Geology, (1985) 3, 265-310.
- [25] Indares A. Y., Martignole J., "Biotite-garnet geothermometry in granulite facies: the influence of Ti and Al in biotite", American Mineralogist (1985) 70, 272-278.
- [4] Ghent E. D., Stout M. Z., "Geobarometry and Geothermometry of plagioclase-biotite-garnet-muscovite assemblages", Contributions to Mineralogy and Petrology (1981) 76, 92-97.
- [5] Bhattacharya A., Mazumdar A. C., Sen S. K., "Fe-Mg mixing in cordierite: constraints from natural data and implication for cordierite-garnet geothermometry in granulites", American Mineralogist (1992) 73, 338-344.
- [6] Sepahi A. A., Whitney D. L., Baharifar A. A., "Petrogenesis of andalusite- kyanite- silimanite veins and host rocks, Sanandaj- Sirjan metamorphic belt", Journal of Metamorphic Geology (2004) 22, 119- 134.
- [7] Baharifar A. A., "Petrology of metamorphic rocks of the Hamedan region", Ph. D. Thesis, Tarbiat-Moallem University (2004), 218 P.
- [8] Sepahi A. A., Cavosie A., "Isotope thermometry of quartz-aluminosilicate veins of Hamedan area using oxygen stable isotopes", Iranian Journal of Crystallography and Mineralogy (2005) 13, 245-258.
- [9] Molaei-Yeganeh T., "The study of controlling factor of distribution of kyanite in metamorphic and plutonic rocks of the Hamedan region", M. Sc. Thesis, Bu-Ali Sina University (2008), 148 P.
- [10] Saki A., moazzen m., Oberhansli R., "Mineral chemistry and thermobarometry of the staurolite-chloritoid schists from Poshtuk, NW Iran", Journal of Geological Magazine (2012) 6, 1077 - 1088.
- [11] Mohajjal M., Sahandi M., "Evolution of northwest of Sanandaj-sirjan zone and introduction of new sub-zones", Geosciences Quarterly (1999) 16, 31-32.
- [12] Sepahi A. A., "Petrology of Alvand plutonic complex with special reference to granitoids" Ph. D. Thesis, Tarbiat-Moallem University (1999), 325 P.
- [13] Kretz R., "Metamorphic crystallization", John Wiley & Sons (1994) 507 p.
- [14] Deer W. A., Howie R. A., Zussman J., "An Introduction to the Rock Forming Minerals", Longman, London (1992).
- [15] Dale J., Holland T. J. B., "Geothermobarometry, $P-T$ paths and metamorphic field gradients of high- P rock from the Adula Nappe, Central Alps", Journal of Metamorphic Geology (2003) 21, 813-829.
- [16] Droop G.T.R., Bucher-Nurminen K., "Reaction textures and metamorphic evolution of

- equilibrium experiments", Contributions to Mineralogy and Petrology (1989) 103, 423-433.*
- [32] Koziol A. M. Y., Newton R. C., "Redetermination of the anorthite breakdown reaction and improvement of the plagioclase-garnet- Al_2SiO_5 -quartz geobarometer", American Mineralogist (1988) 73, 216-223.
- [33] Yardly B.W.D., "An introduction to metamorphic petrology", Longman (1991) 248 p.
- [34] Kerrick D.M., Spear J.A., "The role of minor element solid solution on the andalusit-silimanit equilibrium in metapelites and peraluminous granitaids", American Journal of Science (1988) 288, 152-192.
- [35] Holdoway M.J., "Stability of andalusite and the aluminum silicate phase diagram", American Journal of Science (1971) 271, 881-892.
- [36] Ganguly J., "Chloritoid stability and related parageneses: theory experiments and applications", American Journal of Science (1996) 267, 910-944.
- [37] Thompson A.B., "Calc-silicate diffusion zones between marble and politic schist", Journal of Petrology (1975) 16, 314-346.
- [26] Dasgupta S., Sengupta P., Guha D., Fukuoka M., "A refined garnet-biotite Fe-Mg exchange geothermometer and its application in amphibolites and granulites", Contributions to Mineralogy and Petrology (1991) 109, 130-137.
- [27] Reche J., Martinez Francisco J., "An Excel spreadsheet for thermobarometric calculations in metapelitic rocks", Computers & Geosciences (1996) 22, 775-784.
- [28] Hoisch T. D., "Equilibria within the mineral assemblage quartz + muscovite + biotite + garnet + plagioclase, and implications for the mixing properties of octahedrally-coordinated cations in muscovite and biotite", Contributions to Mineralogy and Petrology 108 (1990) 43-54.
- [29] Newton R. C. Y., Haselton H.T., "Thermodynamics of the garnet-plagioclase- Al_2SiO_5 -quartz geobarometer. In: R.C. Newton A. Navrotsky, and B. J. Wood (Eds) "Thermodynamics of Minerals and Melts". Advances in Physical Geochemistry (1981) 1, 129-145.
- [30] Hodges K. V. y., Crowley P. D., "Error estimation and empirical geothermobarometry for pelitic systems", American Mineralogist (1985) 70, 702-709.
- [31] Koziol A. M., Newton R. C., "Grossular activity-composition relationships in ternary garnets determined by reserved displaced-